



UC | Chile

# Crossover BCS-BEC

**Felipe Isaule**

Investigador Postdoctoral ANID  
Instituto de Física, PUC

1ra Escuela Chilena de Átomos Ultrafríos  
21/01/2025, PUC, Santiago, Chile

# Literatura

- J. Annett, *Superconductivity, superfluids and condensates* (Oxford University Press, 2004).
- Q. Chen, J. Stajic, S. Tan, and K. Levin, *Physics Reports* **412**, 1 (2005).
- S. Giorgini, L. P. Pitaevskii, and S. Stringari, *Rev. Mod. Phys.* **80**, 1215 (2008).
- W. Zwerger (ed.), *The BCS-BEC crossover and the unitary Fermi gas* (Springer Science & Business Media, 2011).
- M. Randeria and E. Taylor, *Annu. Rev. Condens. Matter Phys.* **5**, 209 (2014).
- G. Strinati, P. Pieri, G. Röpke, P. Schuck, and M. Urban, *Physics Reports* **738**, 1 (2018)
- Y. Ohashi, H. Tajima, and P. van Wyk, *Progress in Particle and Nuclear Physics* **111**, 103739 (2020).

# Crossover BCS-BEC

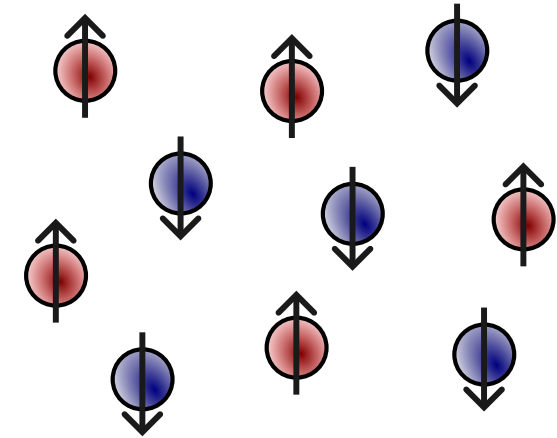
- **Gases de Fermi. Historia** del BCS-BEC crossover.
- Interacciones. Repaso **scattering** onda-s.
- **Detalle teórico.** Observables.
- Aplicaciones en **física nuclear.** Crossover **dos-dimensional.**

# Crossover BCS-BEC

- **Gases de Fermi. Historia del BCS-BEC crossover.**
- Interacciones. Repaso **scattering** onda-s.
- **Detalle teórico.** Observables.
- Aplicaciones en **física nuclear.** Crossover **dos-dimensional.**

# Gas de Fermi ideal

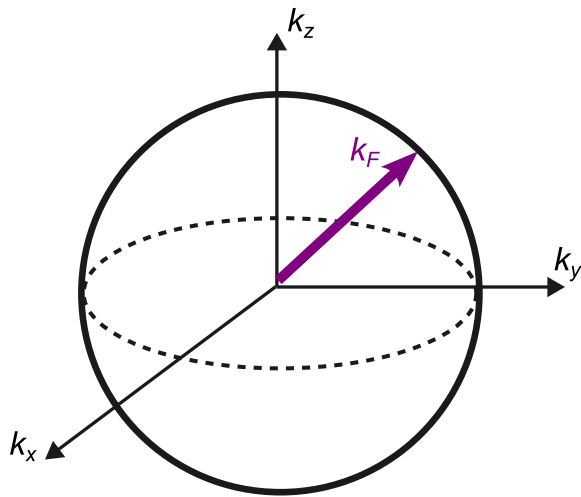
- Consideremos un **gas de Fermi de spin 1/2**.
- En el caso **no interactuante (ideal)**, simplemente tenemos un **gas degenerado**.



Distribución de Fermi-Dirac

$$n_k = \frac{1}{e^{\beta(\epsilon_k - \mu)} + 1} \quad \longrightarrow \quad n_k(T = 0) = \Theta(\mu - \epsilon_k)$$

$$\beta = 1/k_B T$$



**Esfera de Fermi** en el continuo a  $T=0$ .

Momentum de Fermi:

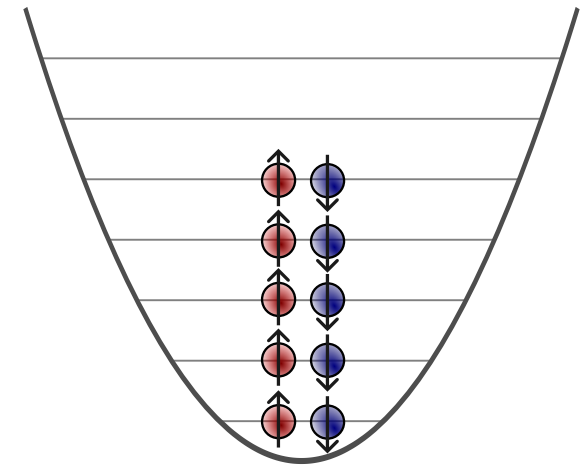
$$k_F = (3\pi^2 n)^{1/3}$$

Densidad:

$$n = N/V$$

Energía de Fermi:

$$\epsilon_F = \frac{\hbar^2 k_F^2}{2m}$$



**Mar de Fermi** en una trampa armónica.

# Superfluidos BEC y BCS

<b>BEC</b> S. Bose, A. Einstein (1924-1925)	<b>BCS</b> J. Bardeen, L. Cooper, J. Schrieffer (1956-1957)
<b>Bosones</b>	<b>Fermiones</b> interactuantes
<b>Ocupación macroscópica</b> de un estado cuántico	<i>Condensación de pares de Cooper</i>
<b>Superfluidez en gases interactuantes</b> N. Bogoliubov (1946)	<b>Teoría de la superconductividad</b>

BCS: Premio Nobel 1972.

# Gas de Fermi interactuante

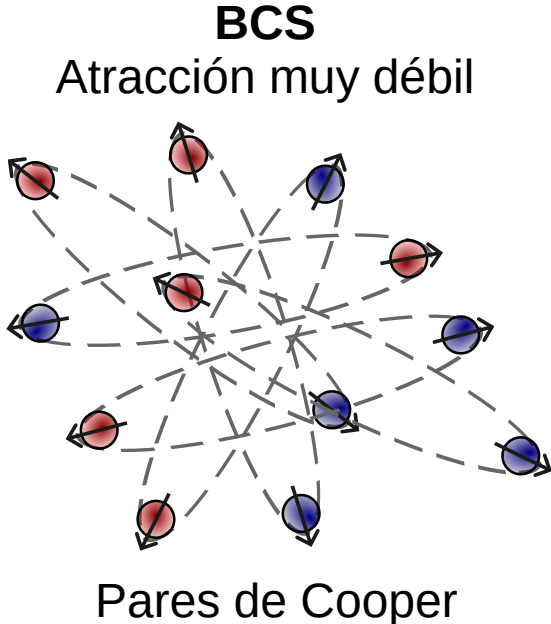
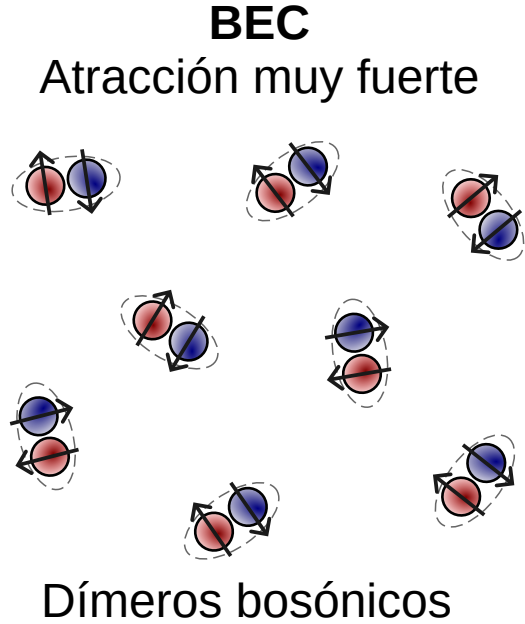
- Ahora consideremos un **gas de fermiones** de spin  $\frac{1}{2}$  que **interactúan atractivamente** mediante onda-s:

$$\hat{H} = \sum_{k\sigma} (\epsilon_k - \mu) \hat{c}_{k\sigma}^\dagger \hat{c}_{k\sigma} + \frac{U}{V} \sum_{kk'q} \hat{c}_{k\uparrow}^\dagger \hat{c}_{k'\downarrow}^\dagger \hat{c}_{k'+q\downarrow} \hat{c}_{k-q\uparrow}$$

Energía cinética   Potencial químico   Interacción atractiva  $U < 0$

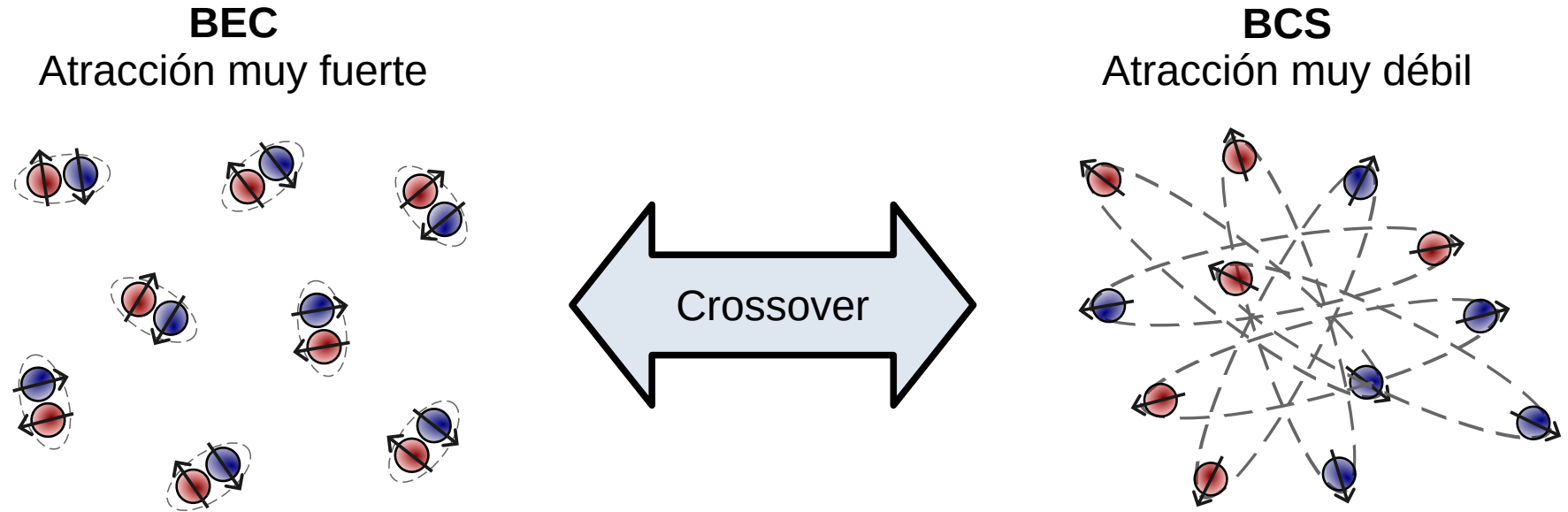
$\epsilon_k = \hbar^2 k^2 / 2m$   
 $\sigma = \uparrow, \downarrow$

- Con onda-s, podemos considerar dos límites **superfluidos**:



En superconductores convencionales los pares tienen tamaños del orden de  $\sim 10^3$  veces la distancia promedio entre partículas

# Crossover BCS-BEC



- Entre los dos límites existe un **crossover** en vez de una **transición de fase**\*
- Por mucho tiempo el crossover fue sólo una curiosidad teórica.  
D. M. Eagles, Phys. Rev. **186**, 456 (1969).  
A. J. Leggett, *Diatomic molecules and Cooper pairs*, in *Modern trends in the theory of condensed matter* (Springer-Verlag, Berlin, 1980, p. 13).  
P. Nozières and S. Schmitt-Rink, J. Low Temp. Phys. **59**, 195 (1985).
- Sin embargo, los gases átomos ultrafríos han permitido realizar experimentalmente el crossover BCS-BEC.

\*Gases con onda- $p$  sí muestran una transición de fase.



# Experimentos con átomos ultrafríos

- **2001: Gas degenerado de Fermi.**

JILA ( $^{40}\text{K}$ ): B. DeMarco, S. B. Papp, and D. S. Jin, Phys. Rev. Lett. **86**, 5409 (2001).

- **2003: Condensación de pares de fermiones (BEC).**

JILA ( $^{40}\text{K}$ ): M. Greiner, C. A. Regal and D. S. Jin, Nature **426**, 537 (2003). MIT ( $^6\text{Li}$ ): M.W. Zwierlein et al., Phys. Rev. Lett. **91**, 250401 (2003).

- **2004: Realización del crossover BCS-BEC.**

JILA ( $^{40}\text{K}$ ): C. A. Regal, M. Greiner, and D. S. Jin, Phys. Rev. Lett. **92**, 040403 (2004).

MIT ( $^6\text{Li}$ ): M.W. Zwierlein, C.A. Stan, C.H. Schunck, S.M.F. Raupach, A.J. Kerman, and W. Ketterle, Phys. Rev. Lett. **92**, 120403 (2004).

LKB-ENS ( $^6\text{Li}$ ): T. Bourdel et al., Phys. Rev. Lett. **93**, 050401 (2004).

Innsbruck ( $^6\text{Li}$ ): C. Chin, M. Bartenstein, A. Altmeyer, S. Riedl, S. Jochim, J. Hecker-Denschlag, and R. Grimm, Science **305**, 1128 (2004).

Número de átomos:  $10^5 - 10^7$  átomos

Gases diluídos:  $k_F^{-1} \sim 0.3\mu\text{m}$

Temperaturas:  $T \sim 10^{-1}T_F$

- Estos desarrollos incrementaron enormemente el interés en el crossover BCS-BEC y en los sistemas fermiónicos fuertemente interactuantes.

# Crossover BCS-BEC

- Gases de Fermi. Historia del BCS-BEC crossover.
- Interacciones. Repaso **scattering** onda-s.
- **Detalle teórico.** Observables.
- Aplicaciones en **física nuclear.** Crossover **dos-dimensional.**

# Interacciones y scattering entre átomos

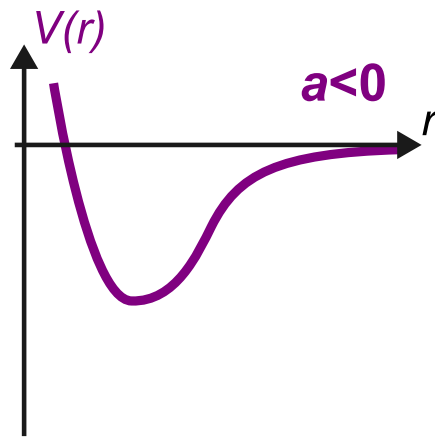
- Recordemos que la amplitud de scattering toma la forma:

$$f_0(k) = -\frac{1}{a^{-1} - k^2 r_{\text{eff}}/2 + ik} \approx -\frac{1}{a^{-1} + ik}$$

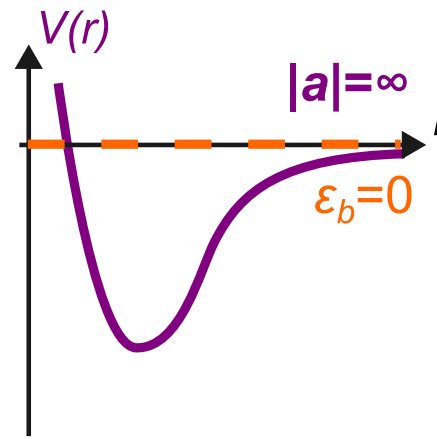
$a$  : longitud de scattering de ondas  
 $r_{\text{eff}}$  : rango efectivo

- En **interacciones repulsivas**  $a$  es siempre **positivo**.
- En **interacciones atractivas** el **signo** de  $a$  depende de si es posible o no la formación de un **estado ligado**.

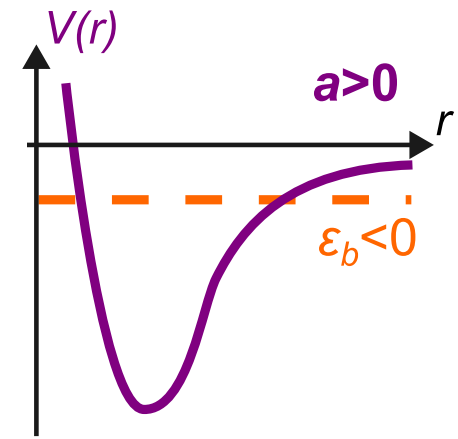
## Límite Unitario



No se forma estado ligado



Umbral formación de estado ligado



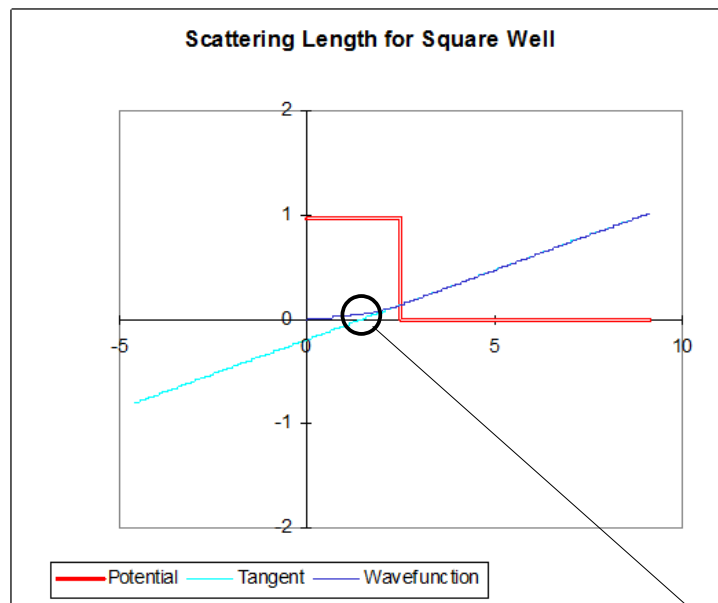
Sí se forma estado ligado

$\epsilon_B$ : energía de ligazón

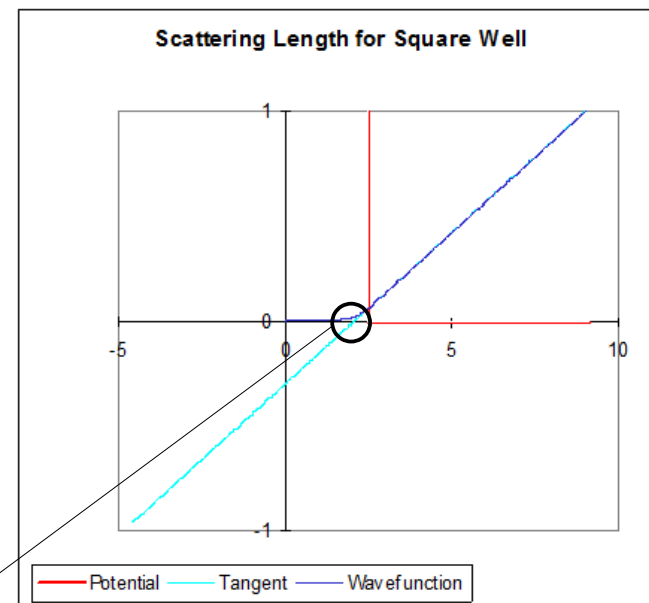
# Longitud de scattering

- Para poder **interpretar** la longitud de scattering, examinemos el comportamiento de  $u(r)=rR(r)$  en potenciales cuadrados.
- La longitud de scattering corresponde a la distancia donde la **tangente** de  $u(r)$  cruza el eje- $r$ .
- En **potenciales repulsivos**:

Esfera suave



Esfera sólida



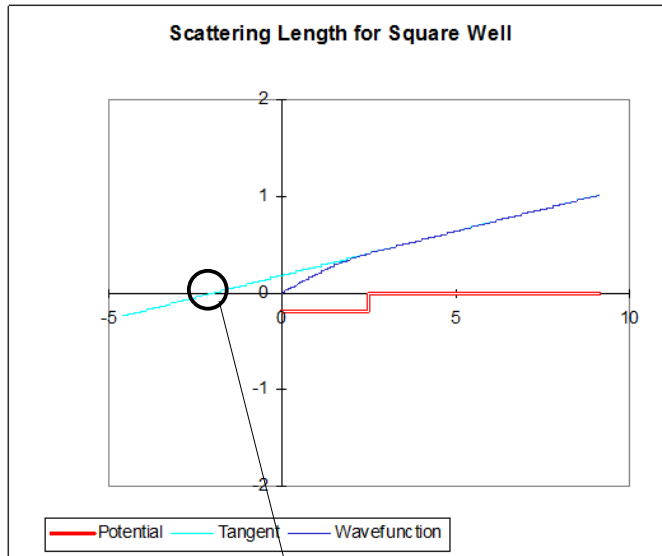
$a > 0$

Figuras tomadas de [https://galileo.phys.virginia.edu/classes/752.mf1i.spring03/Scattering\\_II.htm](https://galileo.phys.virginia.edu/classes/752.mf1i.spring03/Scattering_II.htm)

# Longitud de scattering

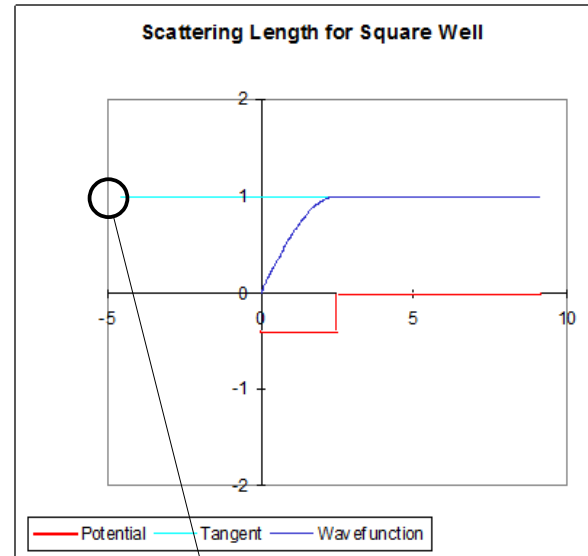
- En potenciales atractivos:

No se forma estado ligado



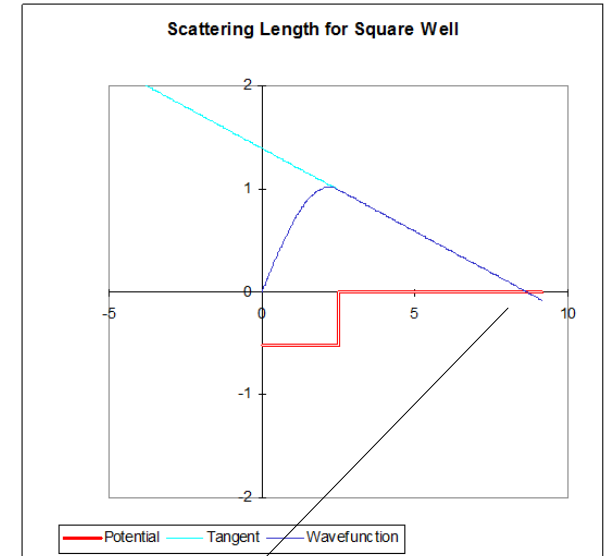
$$a < 0$$

Umbral



$$|a| \rightarrow \infty$$

Sí se forma estado ligado



$$a > 0$$

- En el límite Unitario (resonancia):

$$f_0(k) \approx -\frac{1}{a^{-1} + ik} \longrightarrow \left( -\frac{1}{ik} \right) \longrightarrow \text{No depende de } a.$$

# Longitud de scattering en sistemas nucleares

- La longitud de scattering **entre dos neutrones**:

$$a_{nn} \approx -18.5 \text{ fm} \qquad r_{nn,\text{eff}} \approx 2.7 \text{ fm}$$

G.F. d. Téramond and B. Gabioud, Phys. Rev. C **36**, 691 (1987). A. Gårdestig, J. Phys. G **36**, 053001 (2009).

No hay estado ligado entre dos neutrones. Es decir, **no existe el dineutrón en el vacío.**

- La longitud de scattering **entre un protón y neutrón**:

$$a_{pn}^{(t)} \approx 5.42 \text{ fm} \qquad r_{nn,\text{eff}}^{(t)} \approx 1.76 \text{ fm}$$

B. Wiringa, V.G.J. Stoks, and R. Schiavilla, Phys. Rev. C **51**, 38 (1995).

Sí hay estado ligado. Es decir, **sí existe el deuterón.**

Energía de ligazón  
deuterón (d)

$$\longrightarrow E_d \approx 2.22 \text{ MeV}$$

# Energía de ligazón

- La energía de ligazón se obtiene del **polo** de  $f_0(k)$ :

$$f_0(k) = -\frac{1}{a^{-1} - k^2 r_{\text{eff}}/2 + ik} \approx -\frac{1}{a^{-1} + ik}$$

$k = i\sqrt{m\epsilon_b/\hbar^2}$

- Se obtiene:

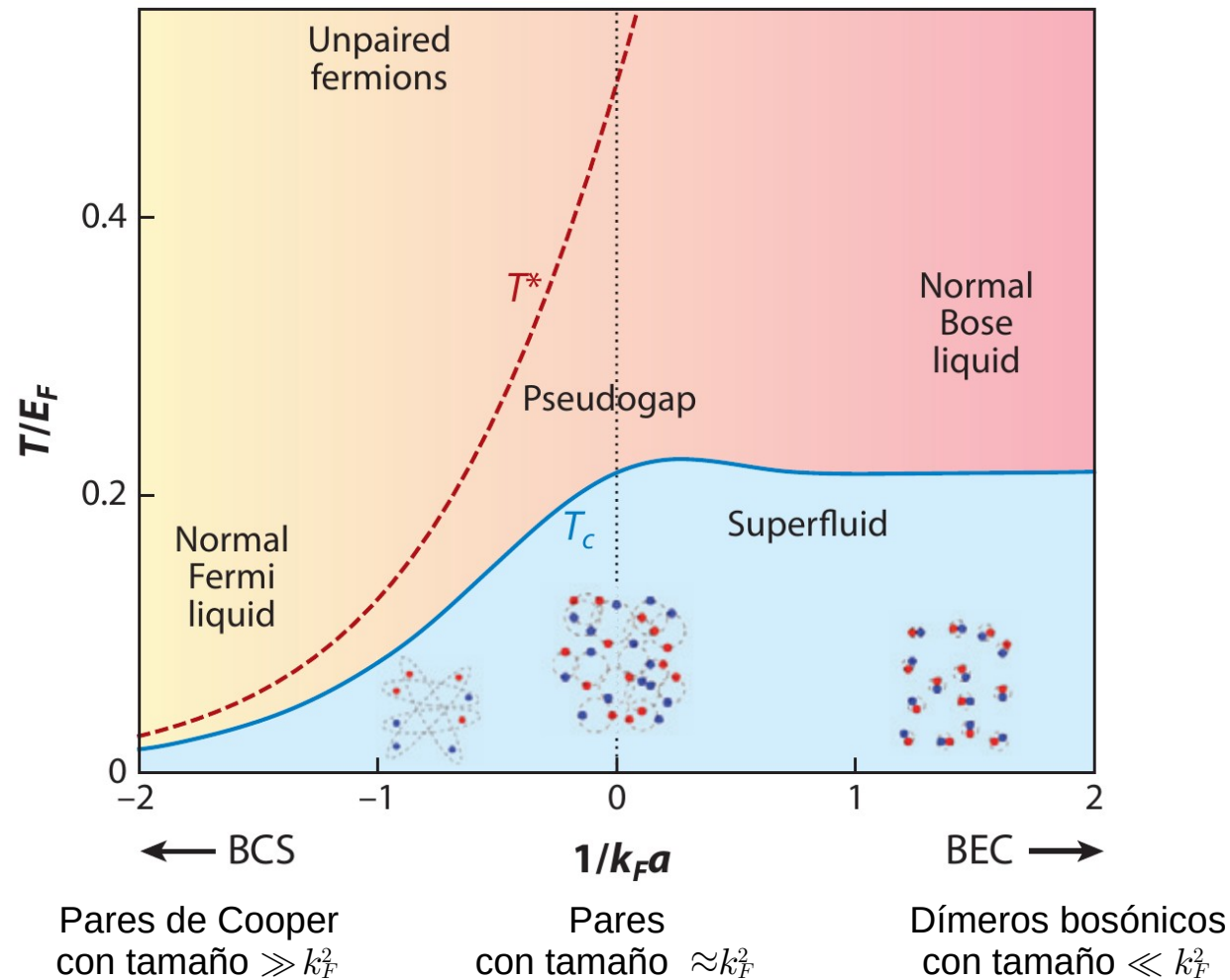
$$\epsilon_b = -\frac{\hbar^2}{ma^2} \Theta(a).$$

# Crossover BCS-BEC

- Gases de Fermi. Historia del BCS-BEC crossover.
- Interacciones. Repaso **scattering** onda-s.
- **Detalle teórico.** Observables.
- Aplicaciones en **física nuclear.** Crossover **dos-dimensional.**



# Crossover BCS-BEC



- Pares se forman **para todo**  $a$ .

$$k_F = (3\pi^2 n)^{1/3}$$

Figura tomada de M. Randeria and E. Taylor, Annu. Rev. Condens. Matter Phys. **5**, 209 (2014).

# Crossover BCS-BEC

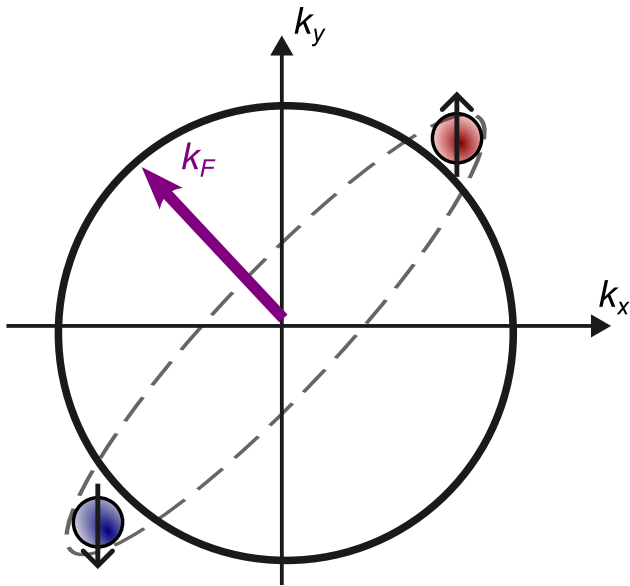
- Los límites BCS y BEC son **débilmente interactuantes**.
- Por otro lado, la región del crossover es **fuértemente interactuante**.
- En el crossover **no hay parámetro pequeño** para realizar teoría de perturbaciones.

$$|k_F a| \rightarrow \infty.$$

- Esto significa que uno necesita utilizar **métodos no-perturbativos** para describir el crossover teóricamente.
  - Simulaciones de Monte-Carlo, grupo de renormalización, expansiones  $\varepsilon$ , etc.

# Teoría BCS

- La **inestabilidad de Cooper** dicta que un mar de Fermi es inestable ante la presencia de **atracción**.
- Ante dicha inestabilidad, dos fermiones sobre el mar de Fermi formarán un **par de Cooper**.



- En superconductores aparece una **atracción entre electrones** debido a la deformación de la red cristalina (**electrón-fonón**).
- Con átomos ultrafríos se puede inducir una atracción con técnicas de resonancias de Feshbach.

# Teoría BCS

- Se define un **operador** que crea un par de Cooper:

$$\hat{P}_{\mathbf{k}}^\dagger = \hat{c}_{\mathbf{k}\uparrow}^\dagger \hat{c}_{-\mathbf{k}\downarrow}^\dagger.$$

- La **función de onda BCS** (estado coherente):

$$|\Psi_{\text{BCS}}\rangle \propto \exp\left(\sum_{\mathbf{k}} \alpha_{\mathbf{k}} \hat{P}_{\mathbf{k}}\right) |0\rangle \approx \prod_{\mathbf{k}} \left(1 + \alpha_{\mathbf{k}} \hat{P}_{\mathbf{k}}\right) |0\rangle.$$

- Usualmente se escribe de la siguiente forma:

$$|\Psi_{\text{BCS}}\rangle = \prod_{\mathbf{k}} \left(u_{\mathbf{k}} + v_{\mathbf{k}} \hat{P}_{\mathbf{k}}\right) |0\rangle.$$

donde

$$\hat{u}_{\mathbf{k}}^\dagger = \frac{1}{1 + |\alpha_{\mathbf{k}}|^2}, \quad \hat{v}_{\mathbf{k}}^\dagger = \frac{\alpha_{\mathbf{k}}}{1 + |\alpha_{\mathbf{k}}|^2}. \quad |u_{\mathbf{k}}|^2 + |v_{\mathbf{k}}|^2 = 1$$

son coeficientes de **Bogoliubov**.

# Teoría BCS

- La ecuación BCS:

$$\begin{pmatrix} \epsilon_{\mathbf{k}} - \mu & \Delta \\ \Delta^* & -(\epsilon_{\mathbf{k}} - \mu) \end{pmatrix} \begin{pmatrix} u_{\mathbf{k}} \\ v_{\mathbf{k}} \end{pmatrix} = E_{\mathbf{k}} \begin{pmatrix} u_{\mathbf{k}} \\ v_{\mathbf{k}} \end{pmatrix}, \quad \epsilon_{\mathbf{k}} = \frac{\hbar^2 \mathbf{k}^2}{2m}$$

que tiene como solución

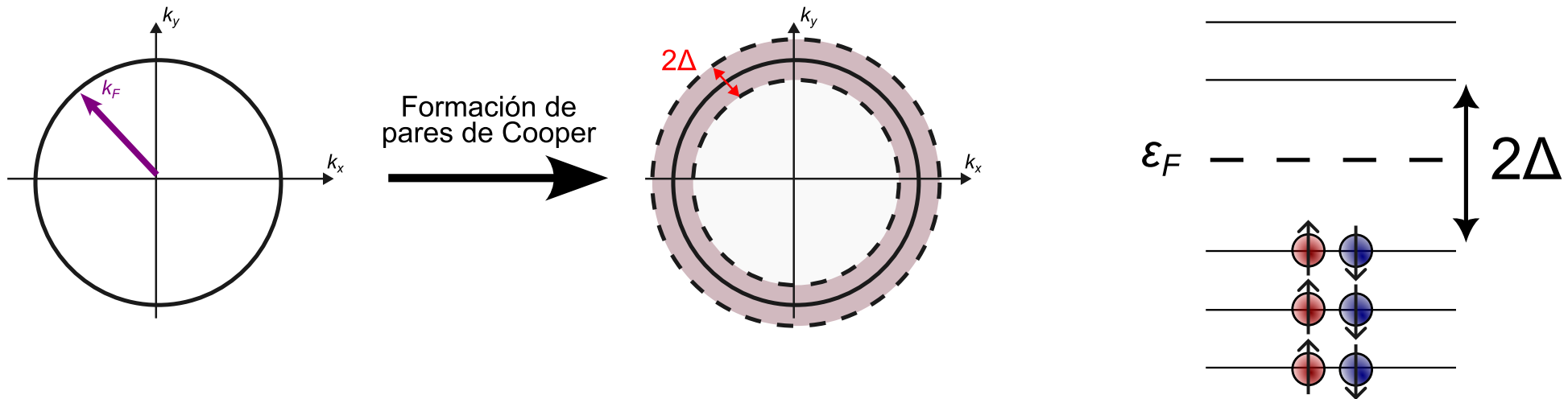
$$E_{\mathbf{k}} = \sqrt{(\epsilon_{\mathbf{k}} - \mu)^2 + |\Delta|^2}.$$

- La ecuación de gap:

$$\Delta = \frac{U}{\mathcal{V}} \sum_{\mathbf{k}} u_{\mathbf{k}} v_{\mathbf{k}}^* = \frac{U}{\mathcal{V}} \sum_{\mathbf{k}} \langle \hat{P}_{\mathbf{k}} \rangle \quad \longrightarrow \quad \Delta = \frac{U}{\mathcal{V}} \sum_{\mathbf{k}} \frac{\Delta}{2E_{\mathbf{k}}}.$$

# Teoría BCS

- El gap es la **diferencia de energía** entre el estado superfluido fundamental y el primer excitado.



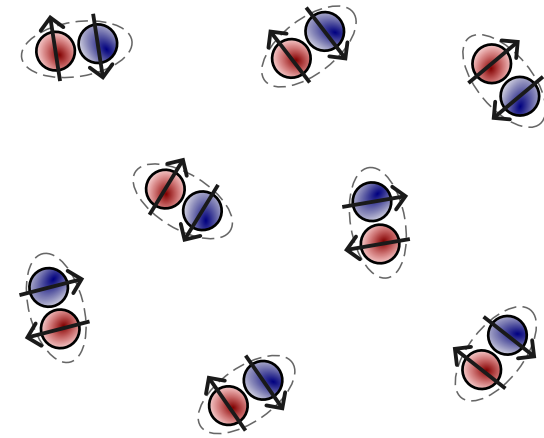
- La teoría BCS predice que

T. Papenbrock and G. F. Bertsch, Phys. Rev. C **59**, 2052 (1999).

$$\Delta/\epsilon_F = \frac{8}{e^2} e^{\frac{\pi}{2k_F a}} . \quad \epsilon_F = \frac{\hbar^2 k_F^2}{2m}$$

# BEC

- En el **límite BEC**, el sistema es un **gas de Bose** que interactúa **repulsivamente**.
- Se puede trabajar en término de pares (**dímeros**) que se crean con el operador  $\hat{P}_k^\dagger$ .



- La **función de onda** de un gas **completamente condensado**:

$$|\Psi_{\text{BEC}}\rangle \propto \exp\left(\alpha_0 \hat{P}_0\right) |0\rangle.$$

que permite llegar a ecuaciones similares a las de BCS.

- La longitud de scattering **repulsiva** entre dímeros:

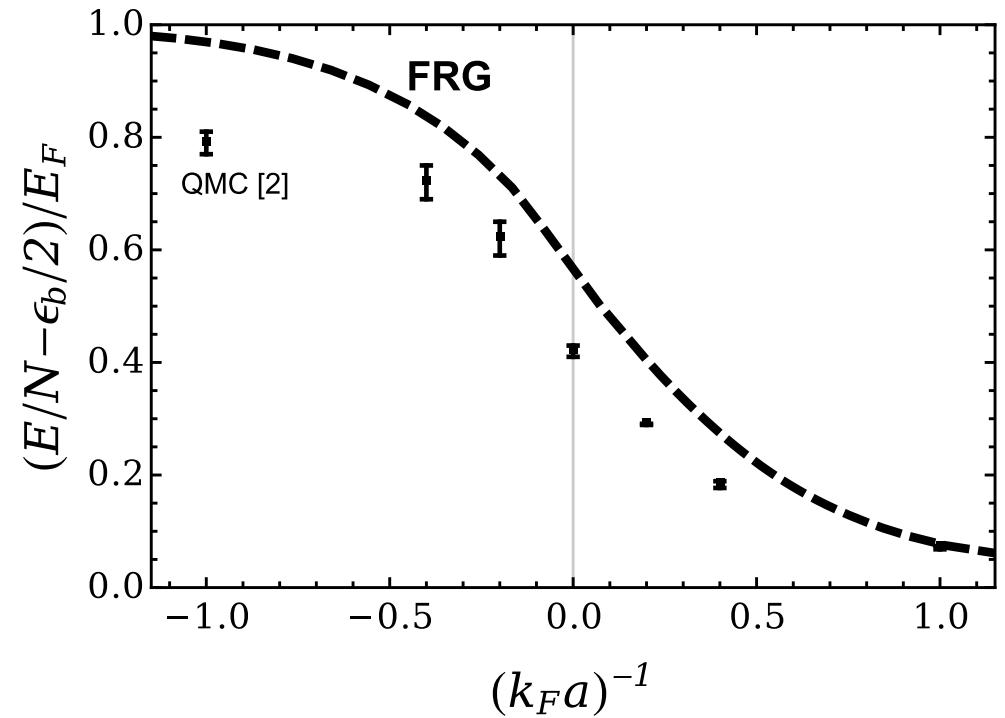
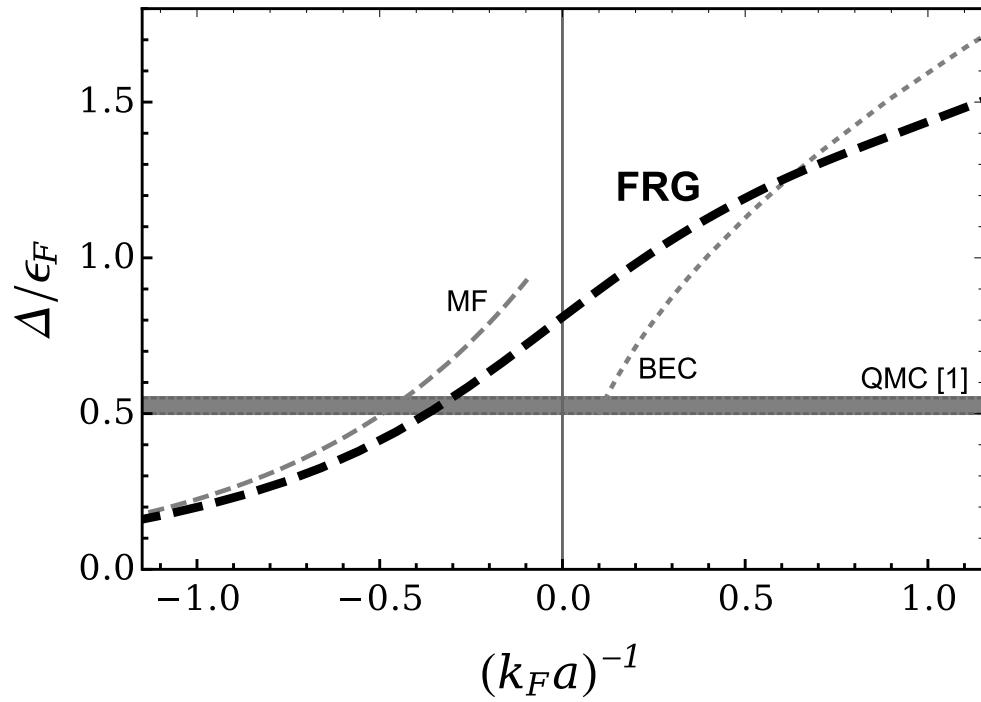
D. S. Petrov, C. Salomon, and G. V. Shlyapnikov, Phys. Rev. A **71**, 012708 (2005).

$$a_{dd} = 0.6a.$$

- Se puede obtener que

$$\Delta/\epsilon_F = \sqrt{16/3\pi k_F a}.$$

# Algunos resultados



[1] J. Carlson, S.-Y. Chang, V. R. Pandharipande, and K. E. Schmidt, Phys. Rev. Lett. **91**, 050401 (2003).

[2] G. E. Astrakharchik, J. Boronat, J. Casulleras, and a. S. Giorgini, Phys. Rev. Lett. **93**, 200404 (2004).



# Límite Unitario

- En el límite unitario ( $a^{-1}=0$ ) con rango efectivo cero ( $r_{\text{eff}}=0$ ) **no hay escalas en el sistema.**
- La física debe ser **universal.**

Energía por partícula: 
$$\frac{E}{N} = \xi_s \frac{3}{5} \epsilon_F.$$

$\xi_s$  : Parámetro de Bertsch

- Algunos resultados en el límite Unitario:

	$\xi_s$	$\Delta/\epsilon_F$
Campo Medio	0.59 [1]	0.68 [1]
Monte-Carlo	<0.383 [2]	0.54 [3]
FRG	-	0.46 [4]
Experimento	0.376 [5]	0.44 [6]

[1] J. R. Engelbrecht, M. Randeria, and C. A. R. Sá de Melo, Phys. Rev. B **55**, 15153 (1997).

[2] G. E. Astrakharchik, J. Boronat, J. Casulleras, and S. Giorgini, Phys. Rev. Lett. **93**, 200404 (2004).

[3] J. Carlson, S.-Y. Chang, V. R. Pandharipande, and K. E. Schmidt, Phys. Rev. Lett. **91**, 050401 (2003).

[4] S. Floerchinger, M. M. Scherer, and C. Wetterich, Phys. Rev. A **81**, 063619 (2010).

[5] G. Zürn, T. Lompe, A. N. Wenz, S. Jochim, P. S. Julienne, and J. M. Hutson, Phys. Rev. Lett. **110**, 135301 (2013).

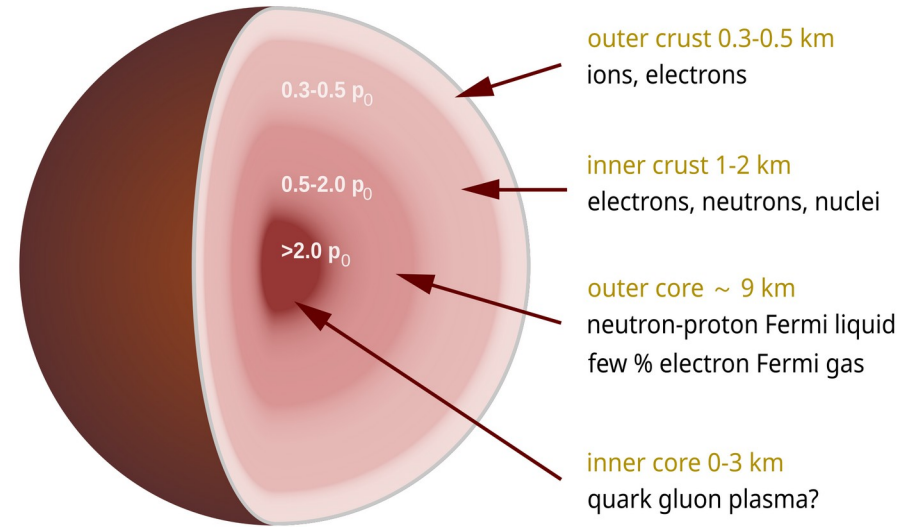
[6] A. Schirotzek, Y.-i. Shin, C. H. Schunck, and W. Ketterle, Phys. Rev. Lett. **101**, 140403 (2008).

# Crossover BCS-BEC

- Gases de Fermi. Historia del BCS-BEC crossover.
- Interacciones. Repaso **scattering** onda-s.
- **Detalle teórico.** Observables.
- Aplicaciones en **física nuclear.** Crossover **dos-dimensional.**

# Estrellas de neutrones y materia neutrónica

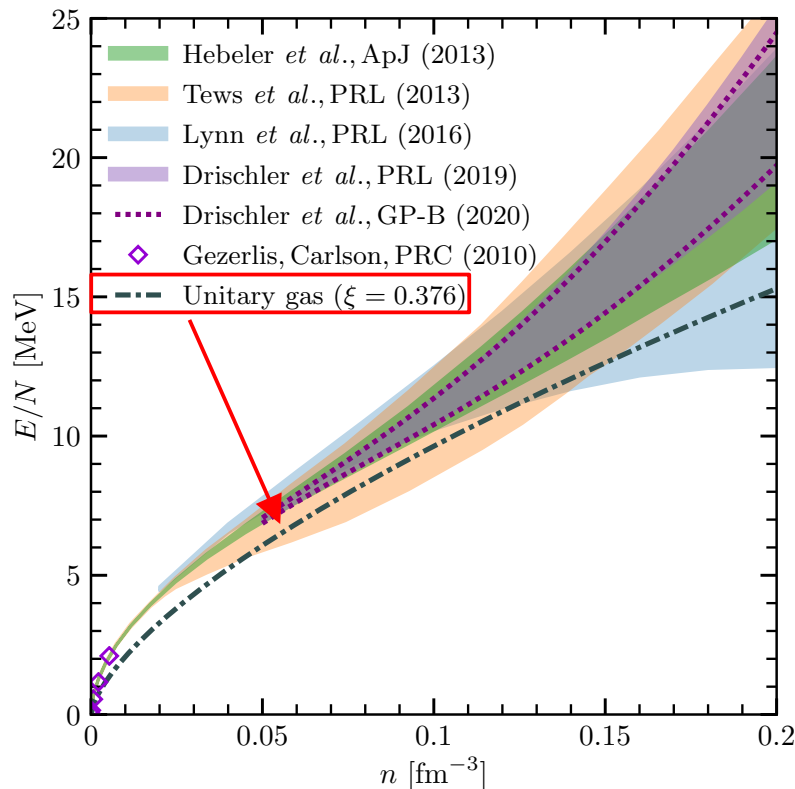
- Las **estrellas de neutrones** se encuentran en su mayoría compuestas de.....neutrones.
- En su interior presentan **partículas superfluidas y superconductoras**.



- Podemos pensar que están compuestas por un gas de neutrones: **materia neutrónica**.
- La **interacción nuclear** es mucho más **complicada** que la entre átomos ultrafríos.
- Sin embargo, a **baja densidad** (corteza interna de una estrella de neutrones), la onda-s domina.

# Estrellas de neutrones y materia neutrónica

- A **baja densidad**, la materia neutrónica es esencialmente un **gas de fermiones** de spin  $\frac{1}{2}$  que interactúa por **onda-s**.
- Es decir, gases de átomos ultrafríos permiten **simular** materia neutrónica a baja densidad.



- En la **corteza** de las estrellas de neutrones:

$$k_F \lesssim 1.5 \text{ fm}^{-1} \quad \longrightarrow \quad \text{Crossover BCS-BEC} \quad (k_F a_{nn})^{-1} \lesssim 0.1$$

$$a_{nn} \approx -18.5 \text{ fm}$$

- La superfluidez es relevante:  
 → Neutron stars **glitches**.

J. M. Lattimer and M. Prakash, Science **304**, 536 (2004).

Figura tomada de S. Huth et al., Phys. Rev. C **103**, 025803 (2021).

# Interacciones en dos dimensiones

- En **dos dimensiones**, la amplitud de scattering toma la forma

$$f_0(k) \approx -\frac{1}{\log(-4/ka^2) - 2\gamma_E}.$$

$a$  : longitud de scattering 2D de onda-s  
 $\gamma_E \approx 2.718$  : Constante de Euler

- La longitud de scattering en dos dimensiones está relacionada a la de tres dimensiones (experimento) por:

$$a_{2D} = a_z \left( 2\sqrt{\frac{\pi}{A}} e^{-\gamma_E} \right) \exp \left( -\sqrt{\frac{\pi}{2}} \frac{a_z}{a_{3D}} \right)$$

$$a_z = \sqrt{\hbar/m\omega_z}$$
$$A \approx 0.91$$

D.S. Petrov and G.V. Shlyapnikov, Phys. Rev. A **64**, 012706 (2001).

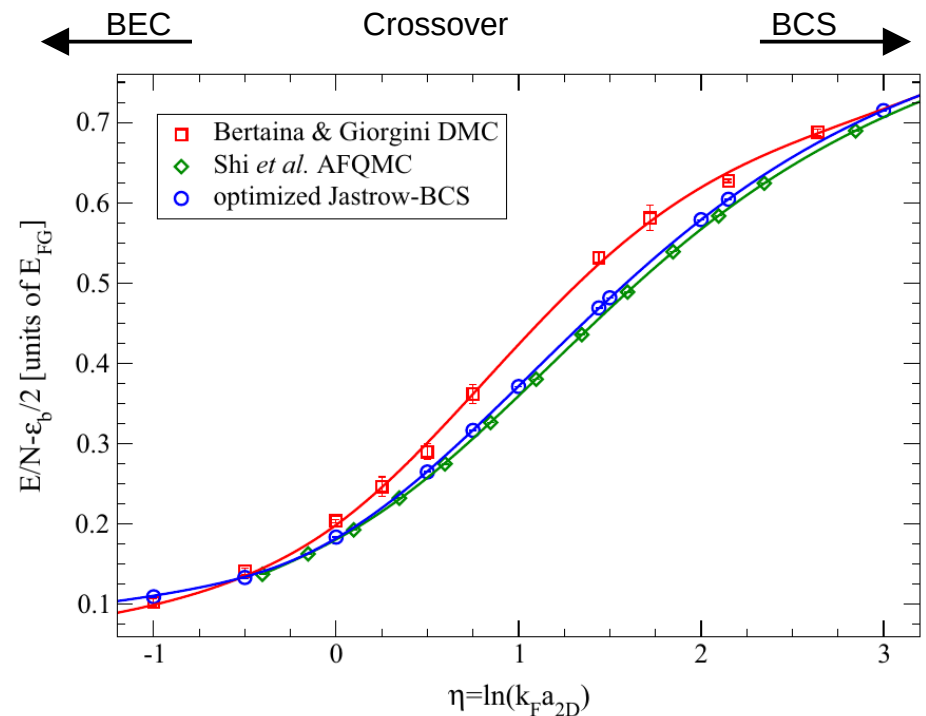
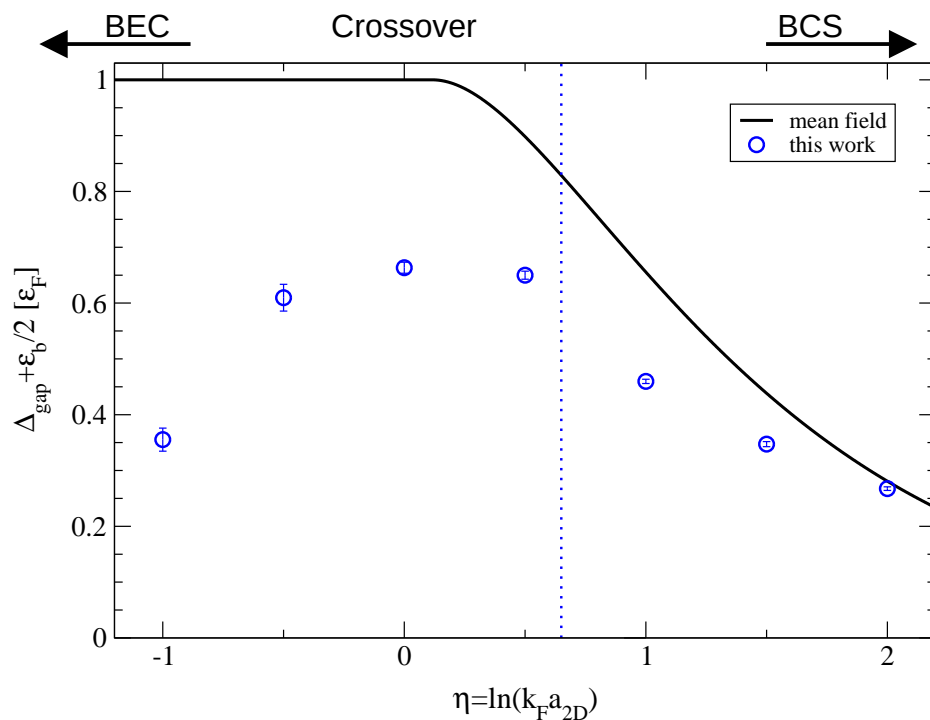
- En dos dimensiones **no existe límite Unitario**.
- Con interacciones atractivas **siempre se forma estado ligado**. Es decir,  $a$  es siempre positivo.

Energía de ligazón:

$$\epsilon_b = -\frac{4}{me^{2\gamma_E} a^2}$$

# BCS-BEC crossover en dos dimensiones

- También existe un crossover en dos dimensiones.
- Es más desafiante de describir ya que las **fluctuaciones cuánticas son más importantes** en dimensiones bajas.
- Experimentalmente también es más desafiante de realizar.



Figuras tomadas de A. Galea *et al.*, Phys. Rev. A **93**, 023602 (2016).

# BCS-BEC crossover en dos dimensiones

- En dos dimensiones **sólo existe un condensado a temperatura cero** (teorema de Mermin-Wagner).

N. D. Mermin and H. Wagner, Phys. Rev. Lett. **17**, 1133 (1966).

- Sin embargo, a temperatura finitas sí existe superfluidez y un **cuasicondensado**.

C-T. Wu *et al.*, Phys. Rev. Lett. **115**, 240401 (2015).

- La transición de fase superfluida es del tipo **BKT** (pares de vórtices-antivórtices).

V. L. Berezinskii, Zh. Eksp. Teor. Fiz. **59**, 907 (1970) [Sov. Phys. JETP **32**, 493 (1970)]. J. M. Kosterlitz and D. J. Thouless, J. Phys. C **6**, 1181 (1973).

# Otros escenarios y aplicaciones

- **Crossover uni-dimensional y estados FFLO.**

A. E. Feiguin *et al.*, *BCS–BEC Crossover and Unconventional Superfluid Order in One Dimension* (Lecture Notes in Physics, vol 836. Springer, Berlin, 2011)

- **Crossover BCS-BEC en redes ópticas.**

A. Koetsier, D. B. M. Dickerscheid, and H. T. C. Stoof, *Phys. Rev. A* **74**, 033621 (2006).

- **Conexión con superconductores de alta temperatura.**

Q. Chen, J. Stajic, S. Tan, and K. Levin, *Physics Reports* **412**, 1 (2005).

- **Crossover relativista y superconductividad de color.**

Y. Nishida and H. Abuki, *Phys. Rev. D* **72**, 096004 (2005). H. Abuki, *Nucl. Phys. A* **791**, 117 (2007).



# Conclusiones

- Los **gases de átomos ultrafríos** han permitido estudiar **experimentalmente el crossover BCS-BEC**.
- El crossover es un sistema **fuertemente interactuante** que requiere el uso de técnicas teóricas sofisticadas.
- Ofrece **más física** que superfluidos débilmente interactuantes y **aplicaciones en diversos sistemas de muchos cuerpos**.